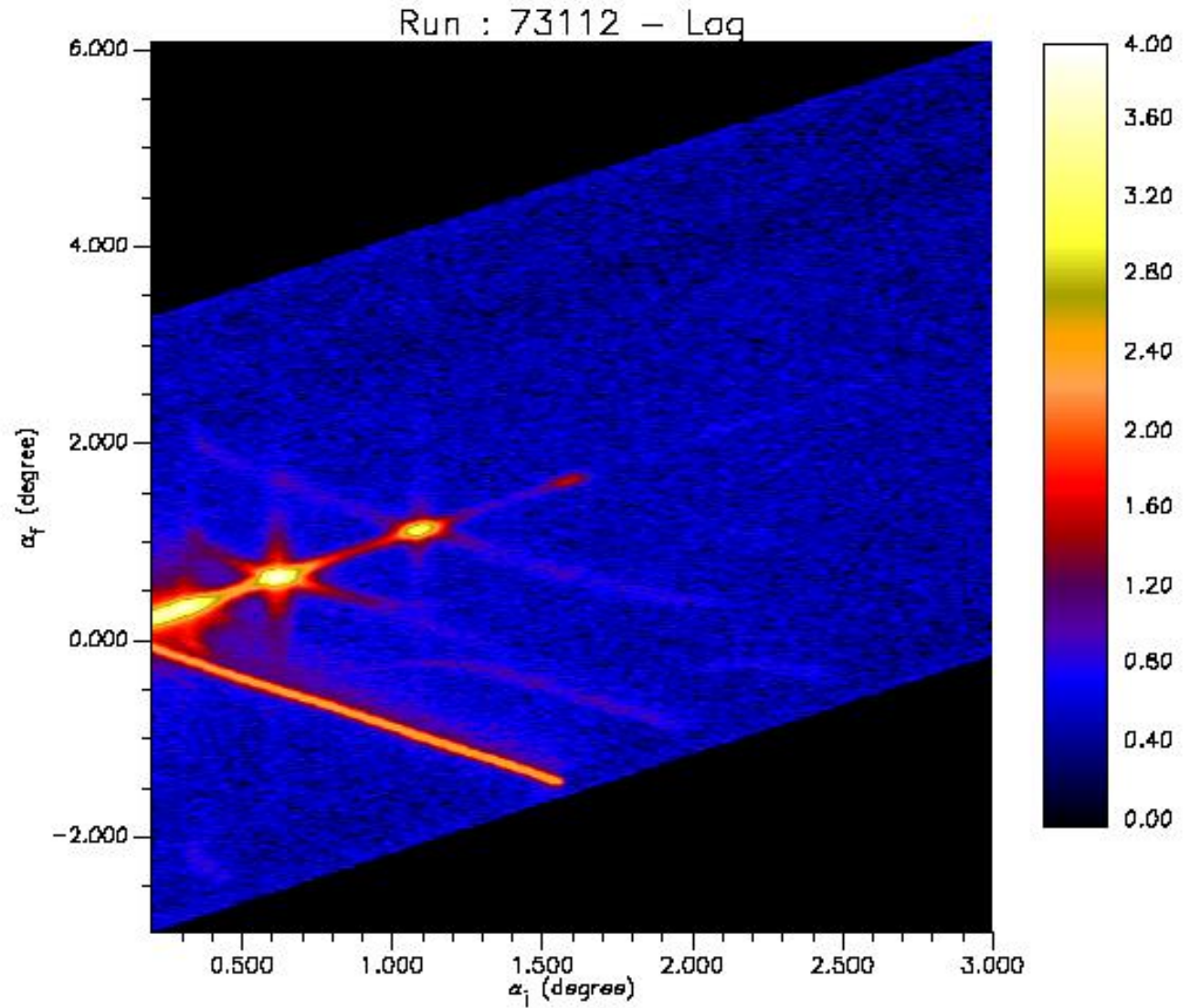
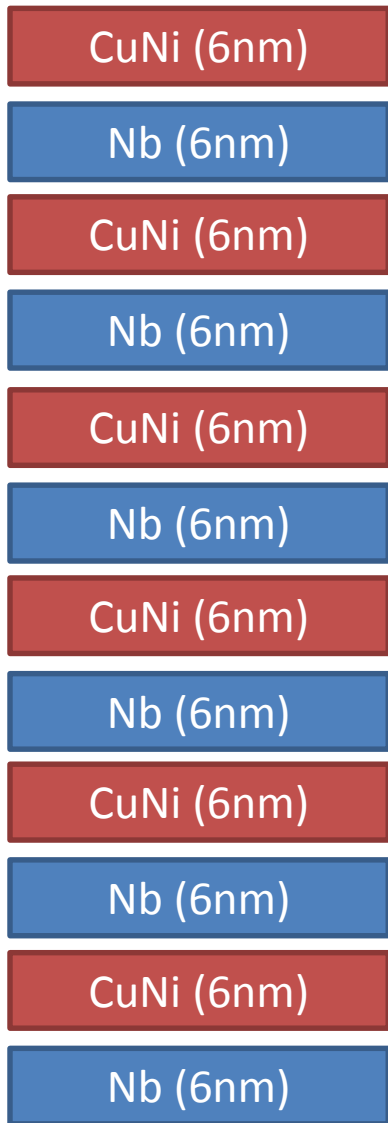


Diffuse scattering - the unique tool to control interfaces of heterostructures

Yury N. Khaydukov

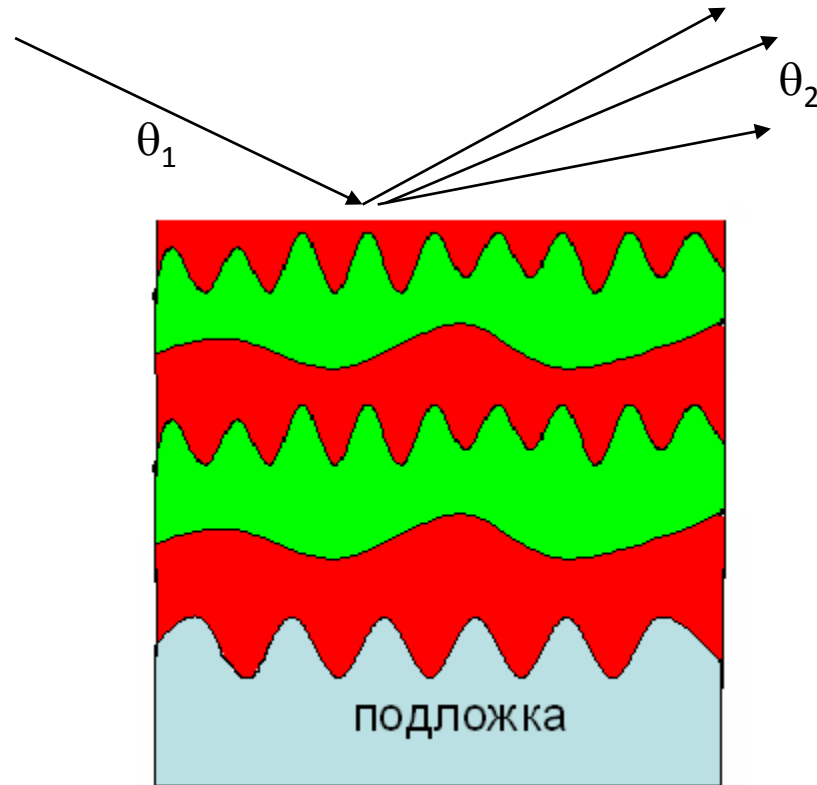
*Max-Planck Institute for Solid State Research,
Stuttgart, Germany*





V6 reflectometer @ HZB

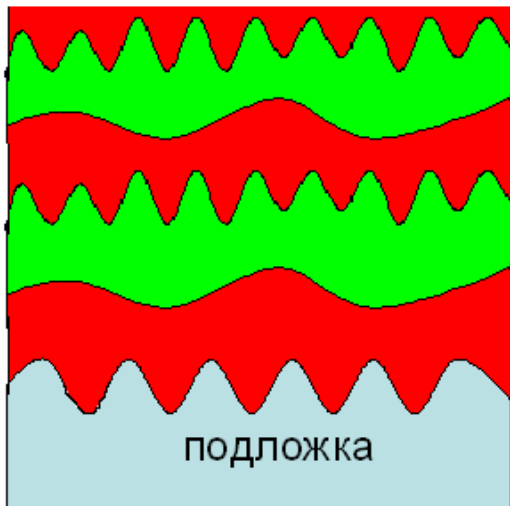
Борновское приближение искаженных волн



$$I(\theta_1, \theta_2) \propto \sum_l \sum_m [\Psi(\theta_2, z_l) \Psi(\theta_1, z_l) \Delta \rho_l]^* C_{lm}(\vec{Q}_X) \Psi(\theta_2, z_m) \Psi(\theta_1, z_m) \Delta \rho_m$$

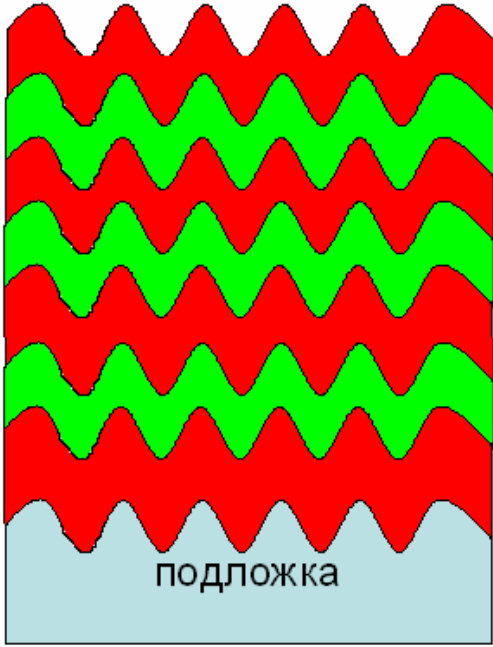
$$C_{lm}(x, y) = \langle \delta z_l(0, 0) \delta z_m(x, y) \rangle$$

Режимы роста гетероструктур

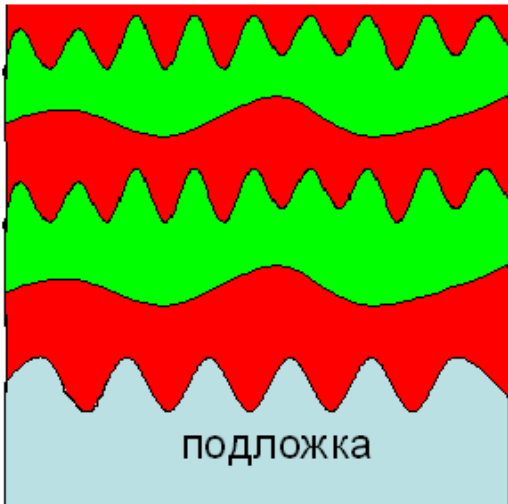


Неконформные
шероховатости

Режимы роста гетероструктур

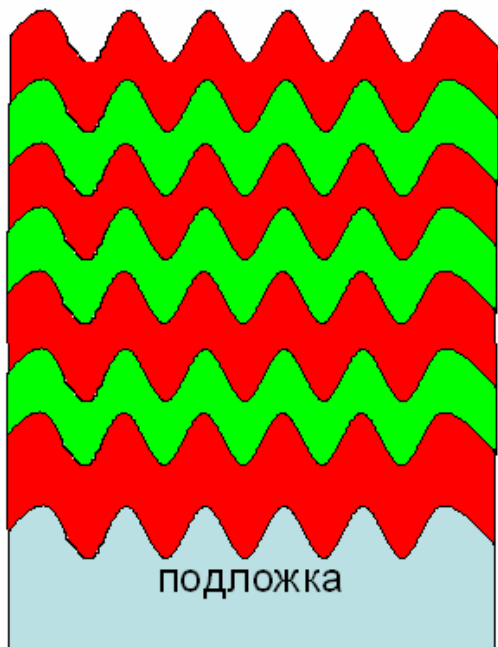


Конформные
шероховатости



Неконформные
шероховатости

Режимы роста гетероструктур

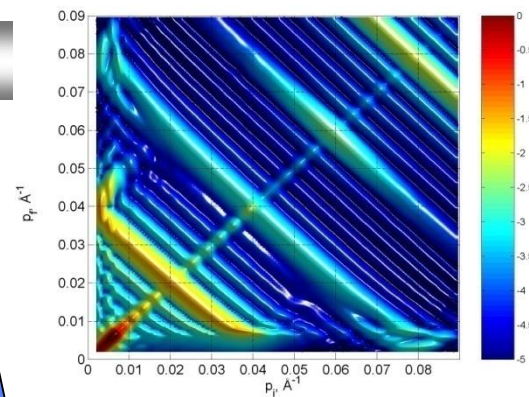


Конформные
шероховатости

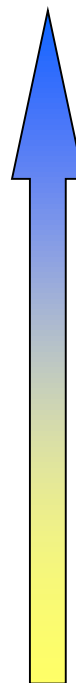


Неконформные
шероховатости

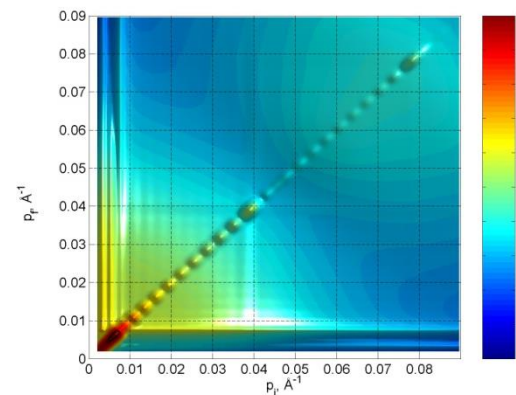
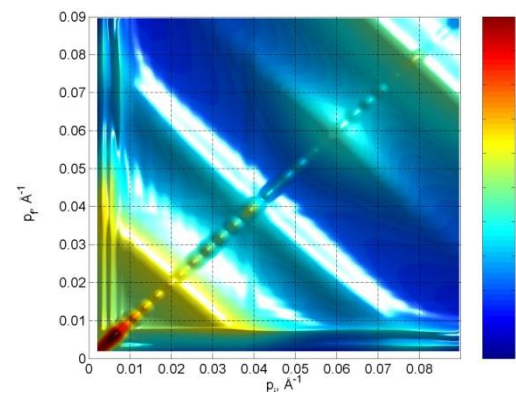
$C_{lm} = 100\%$



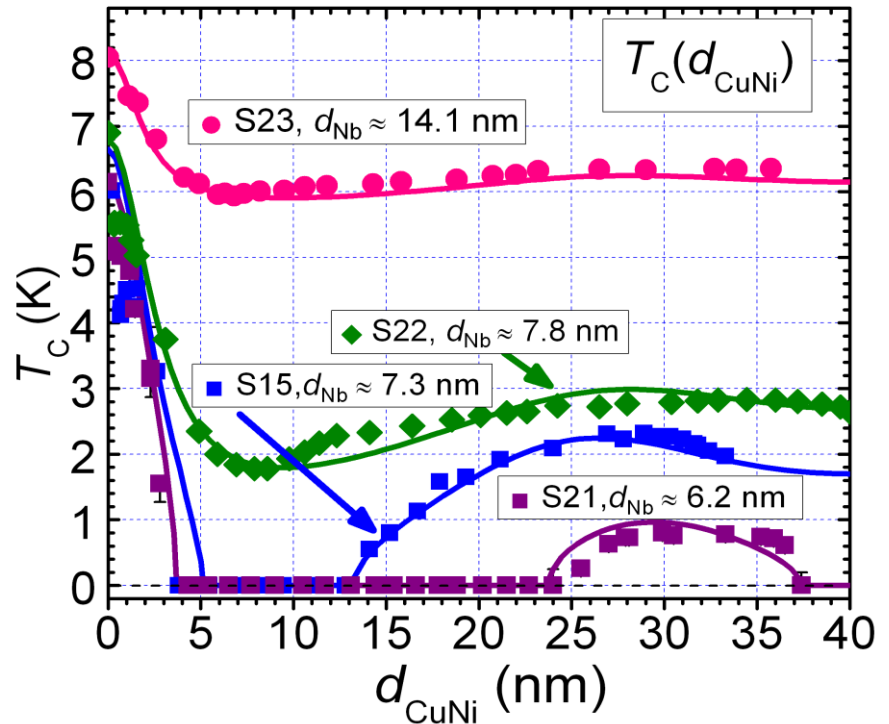
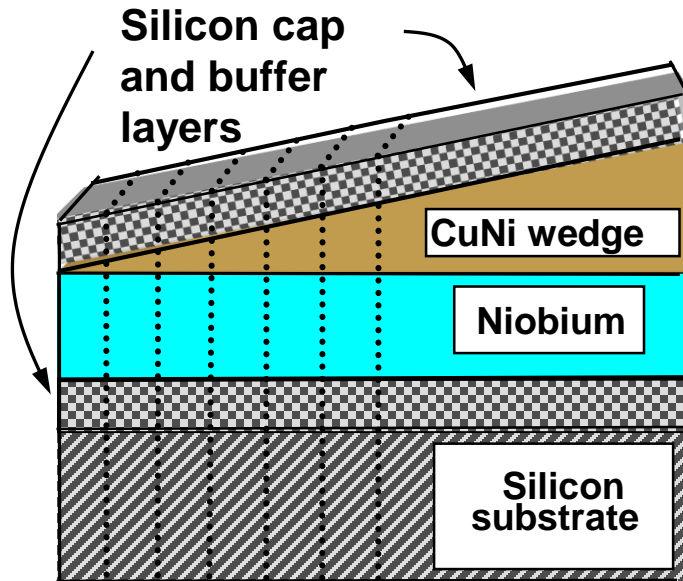
Параметр конформности



$C_{lm} = 0$



Interfacial roughness and proximity effects in superconductor/ferromagnet CuNi/Nb heterostructures



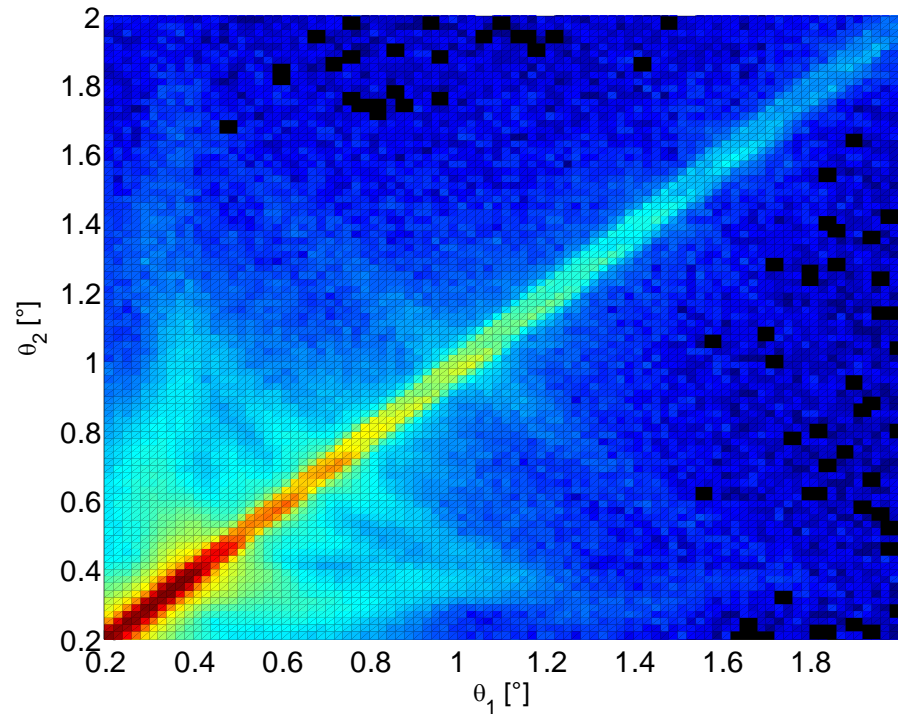
В сотрудничестве с Институтом Электронной Инженерии и Нанотехнологий (Кишинев)

V.I. Zdravkov et al., PRL 97, 057004, 2006,

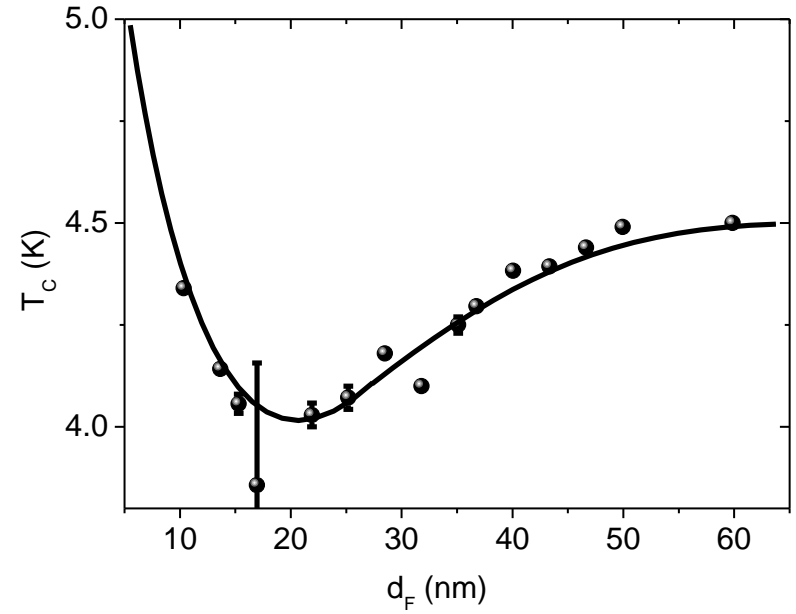
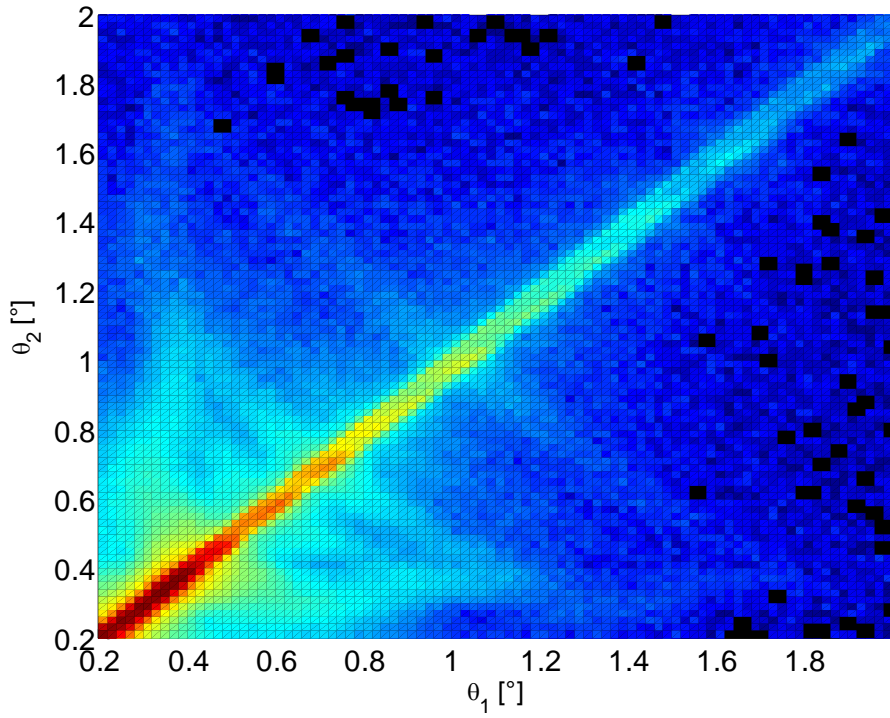
A.S. Sidorenko et al., JETP Lett. v.90, 139 (2009),

V.I. Zdravkov, et al., – PRB v.82 , 054517 (2010)

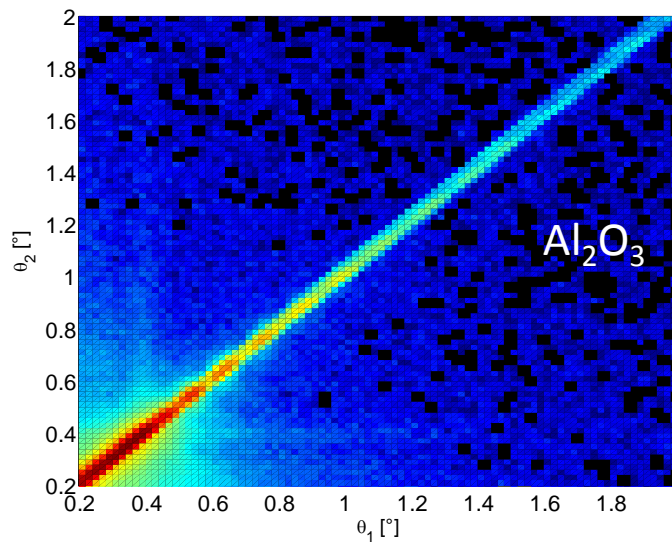
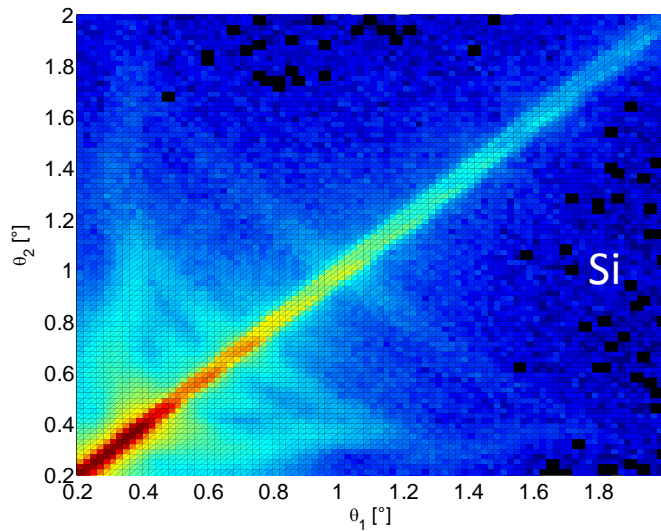
CuNi(10nm)/Nb(20nm) on Si(111) substrate:



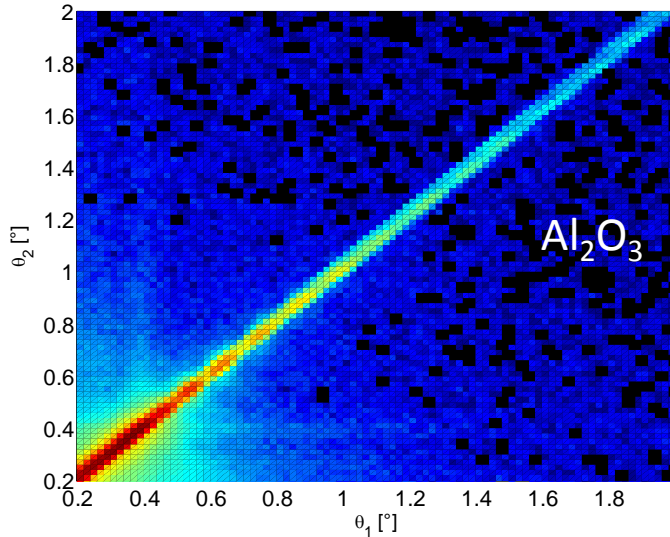
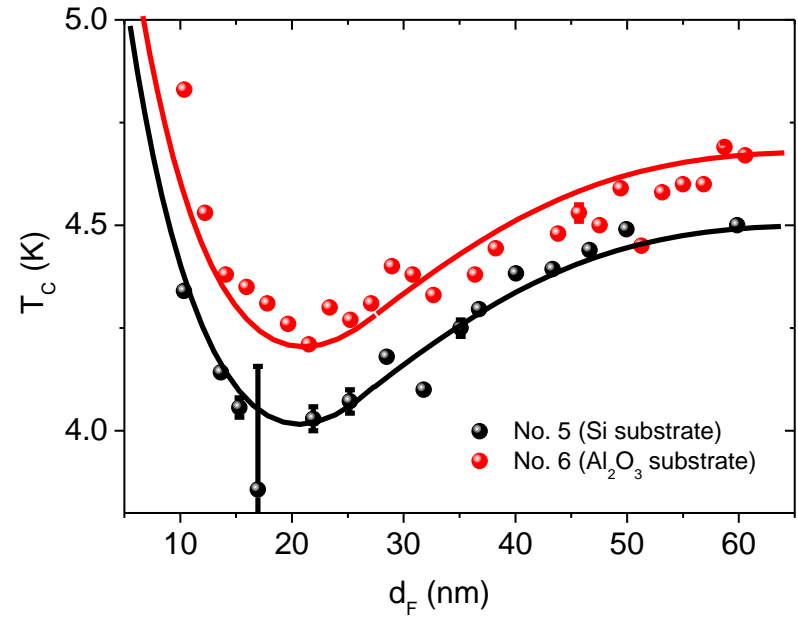
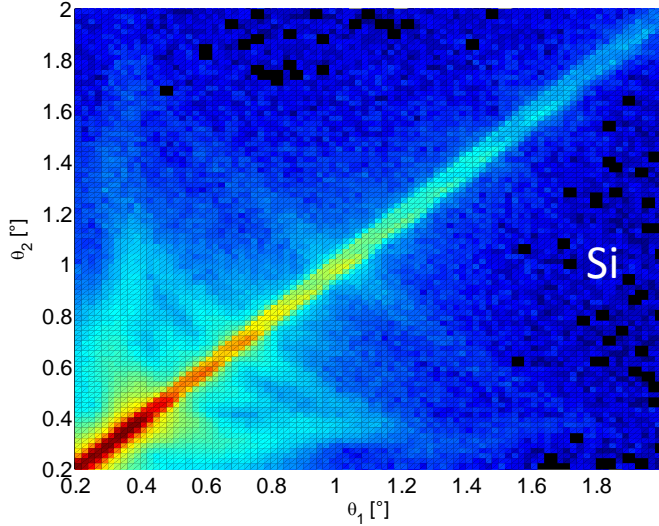
CuNi(10nm)/Nb(20nm) on Si(111) susbtrate:



Change Si(111) substrate to Al_2O_3 (1-102):



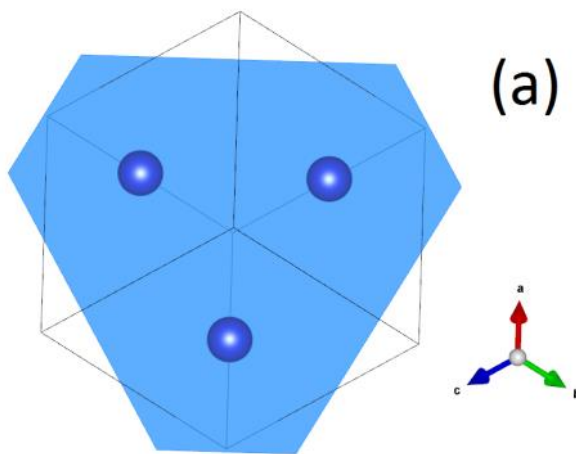
Change Si(111) substrate to Al₂O₃ (1-102):



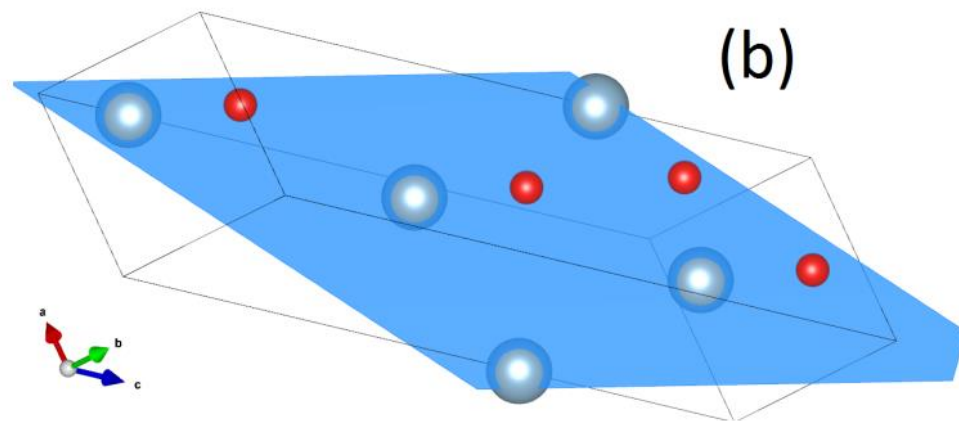
К объяснению разности режимов роста

Поверхность подложек:

Si(111)



Al₂O₃ (1-102):



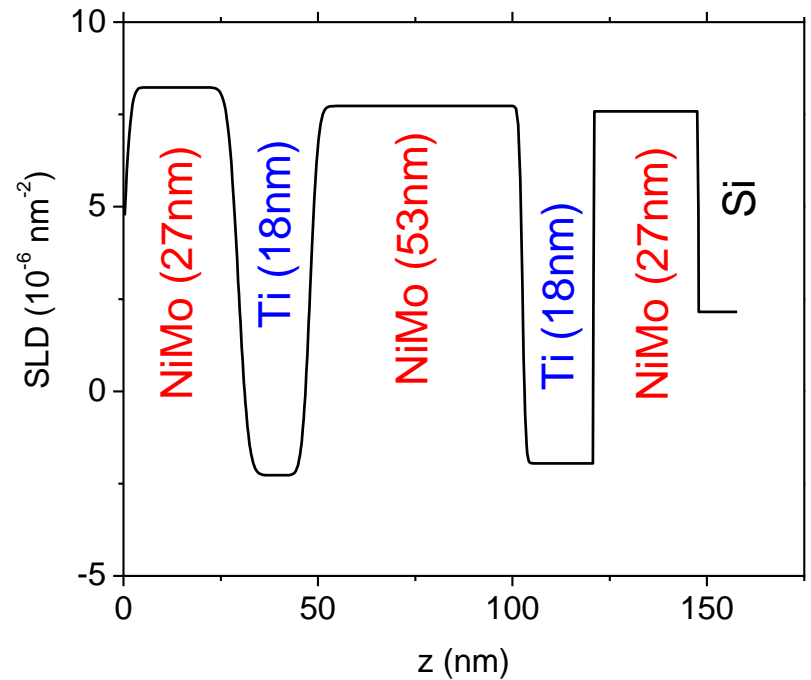
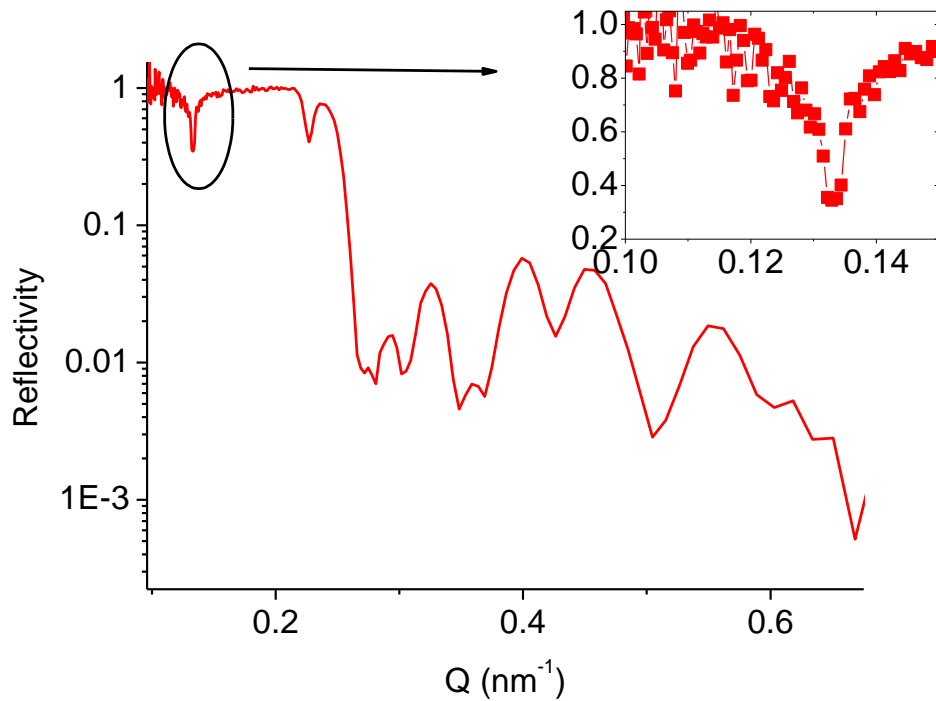
Пример 2.

УХН фильтр

В сотрудничестве с ЛНФ ОИЯИ
(А. Франк, Г. Кулин, А. Кобзев, В. Петренко)

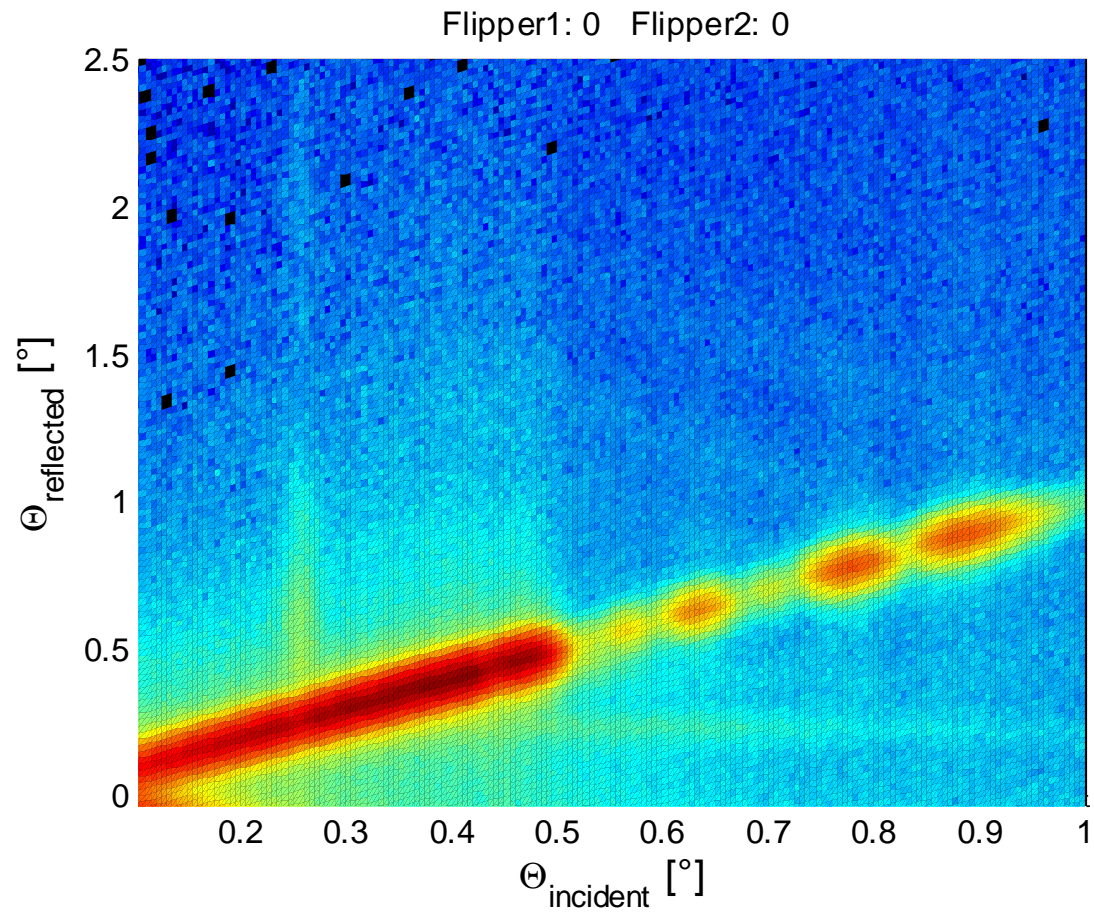
Кривые зеркального отражения

Рефлектометр GRAINS
ЛНФ ОИЯИ

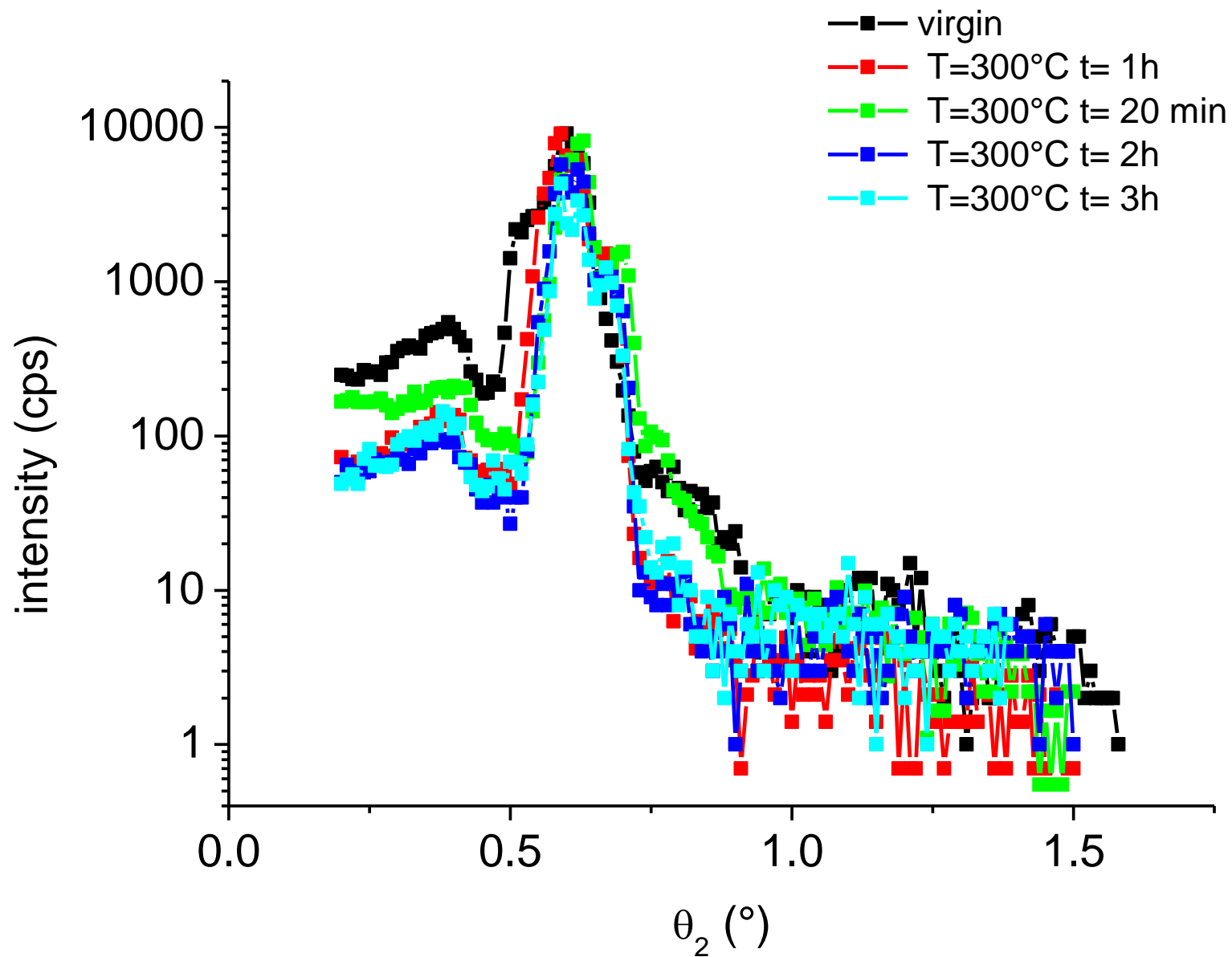


Нейтронные карты рассеяния

Рефлектометр NREX MPI @ FRM 2

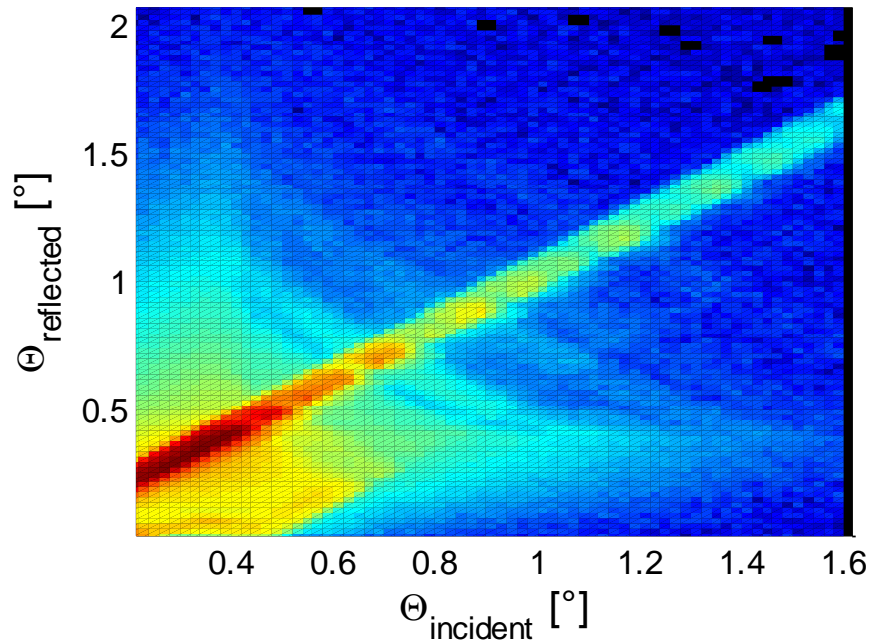


Отжиг в кислородной атмосфере

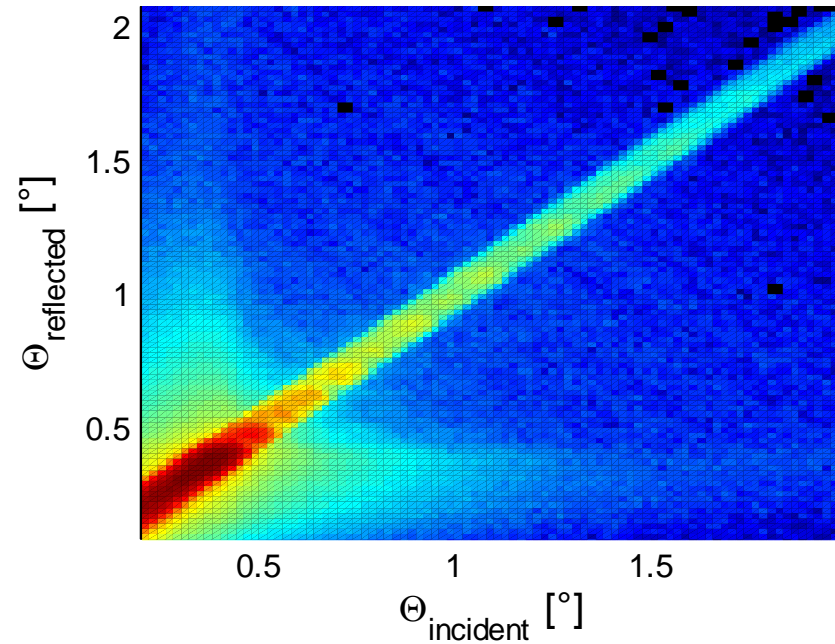


Результат отжига

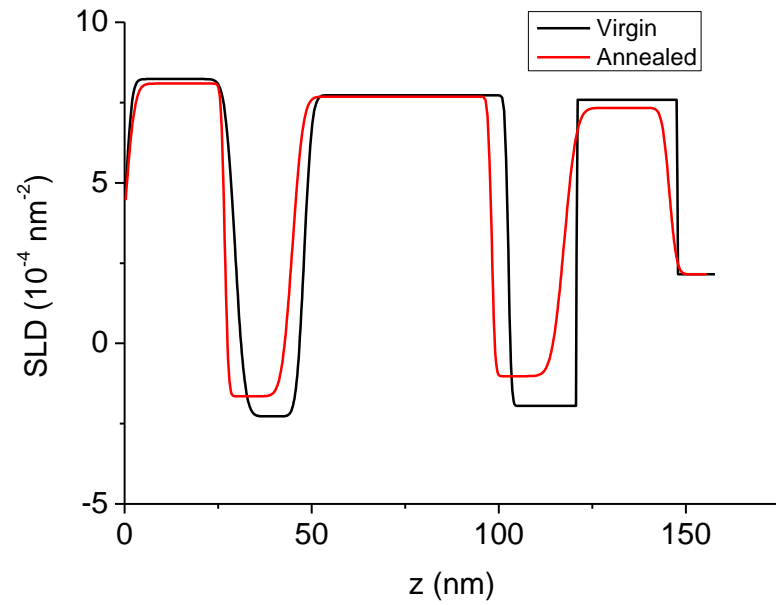
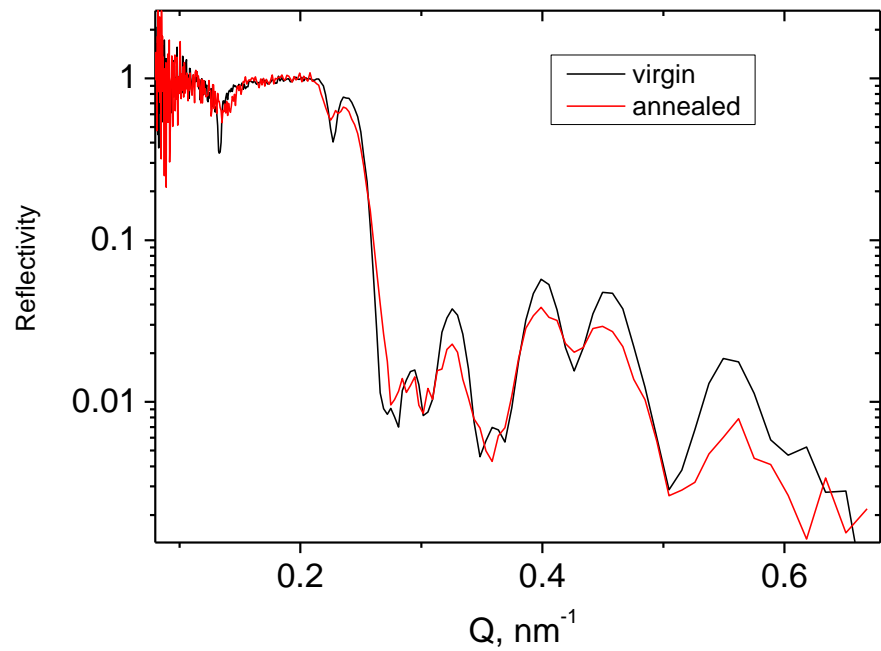
До отжига



Час отжига при 300 °С



Результат отжига



Выводы

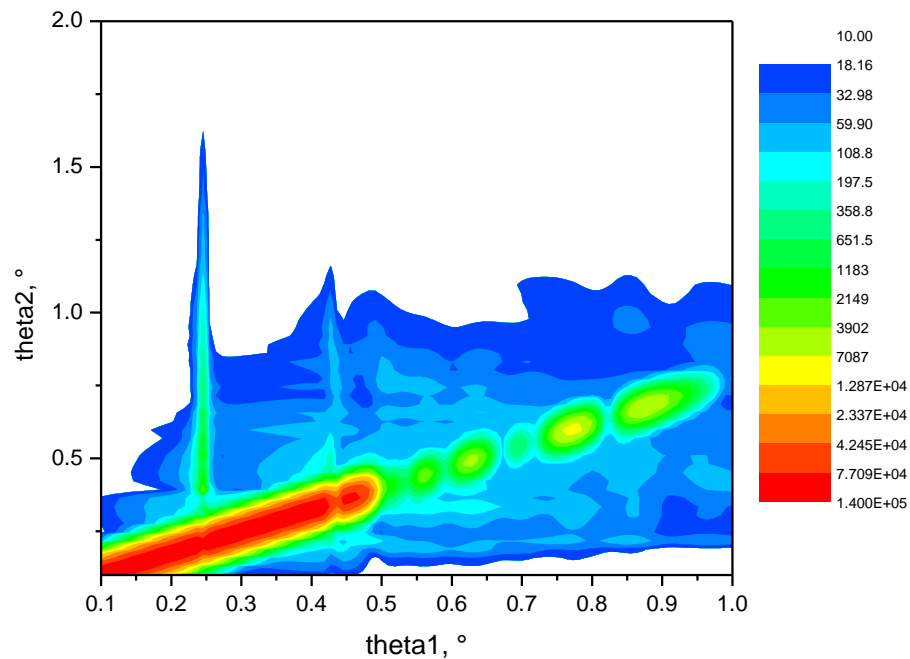
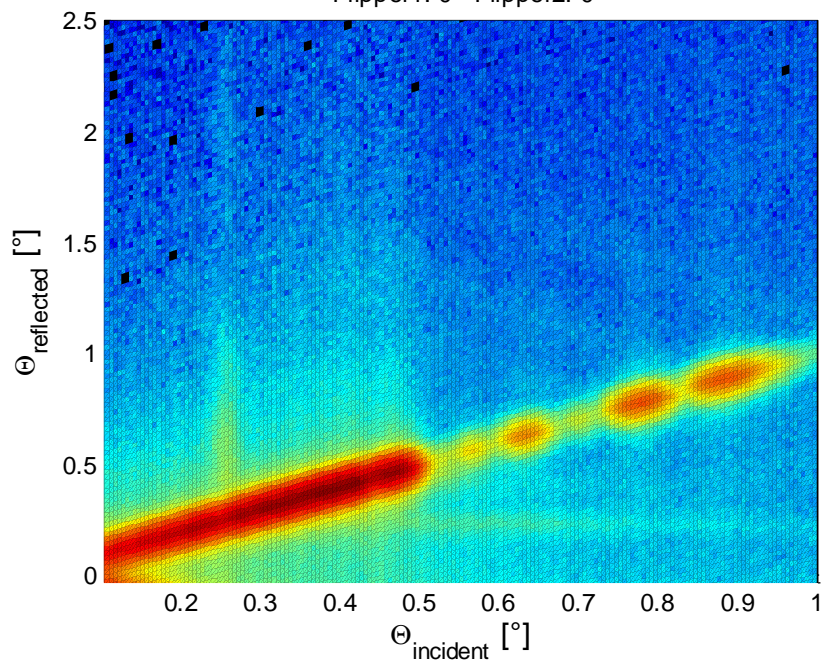
Умение контролировать режим роста является критически важным для приготовления качественных гетероструктур с большим количеством интерфейсов

Диффузное рассеяние нейтронов и рентгеновского излучения является уникальным инструментом позволяющим получить информацию о степени конформности шероховатостей границ раздела и, как следствие, повлиять на режим роста различными способами (смена подложки, отжиг, оптимизация параметров роста)

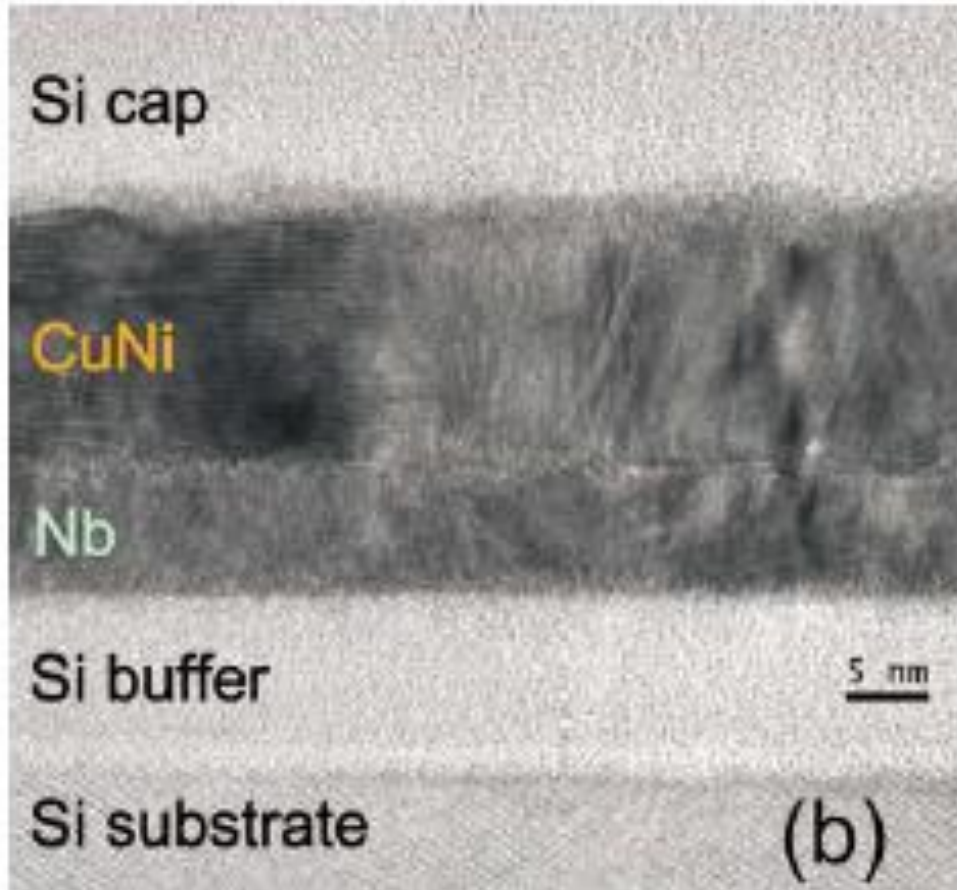
Нейтронные карты рассеяния

Рефлектометр NREX
MPI @ FRM 2

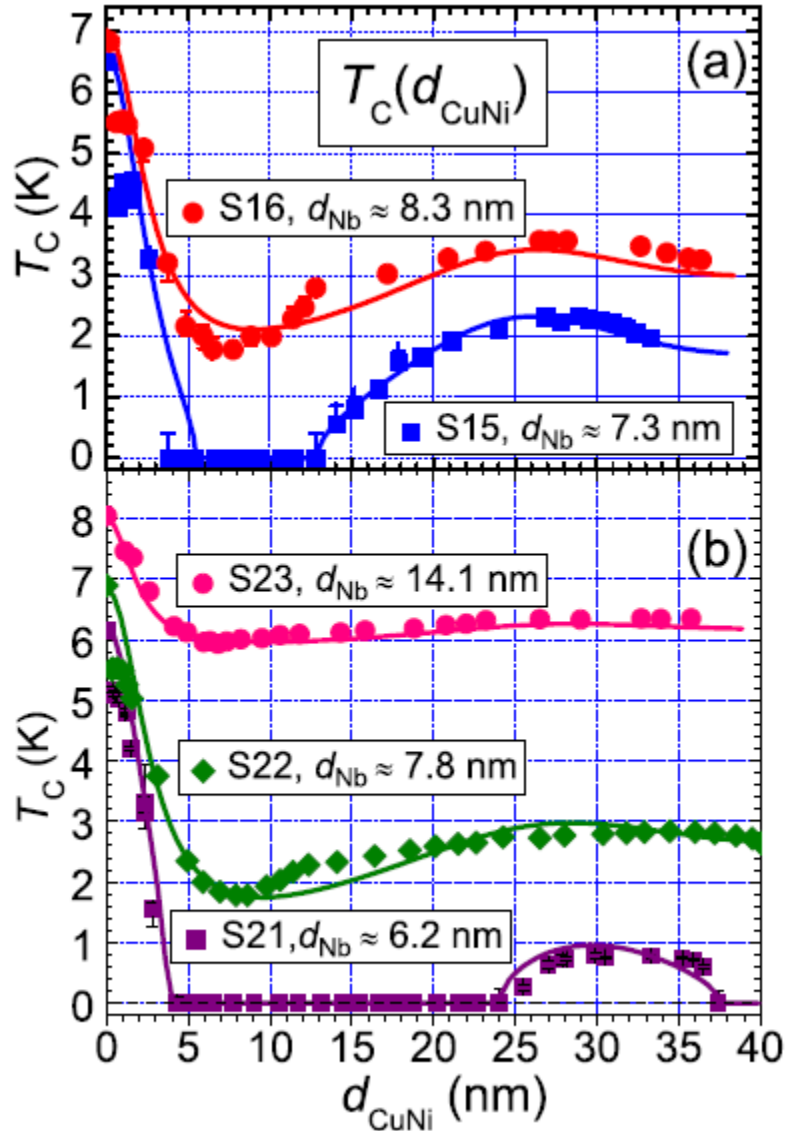
Flipper1: 0 Flipper2: 0



Transmission electron microscopy

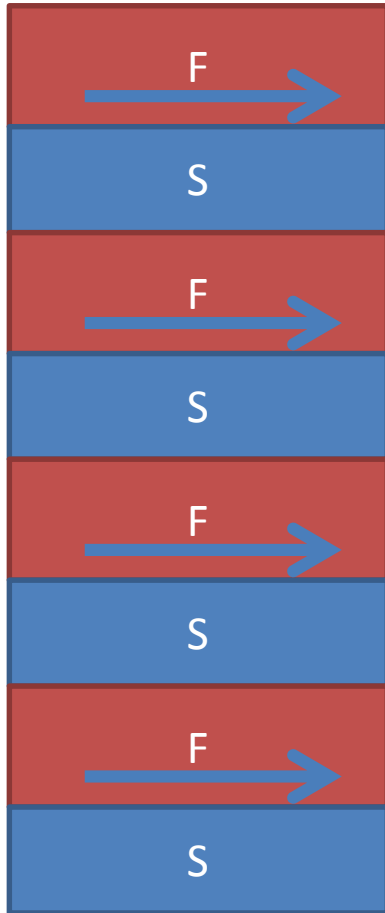


CuNi/Nb bilayer as an atom of SF metamaterial



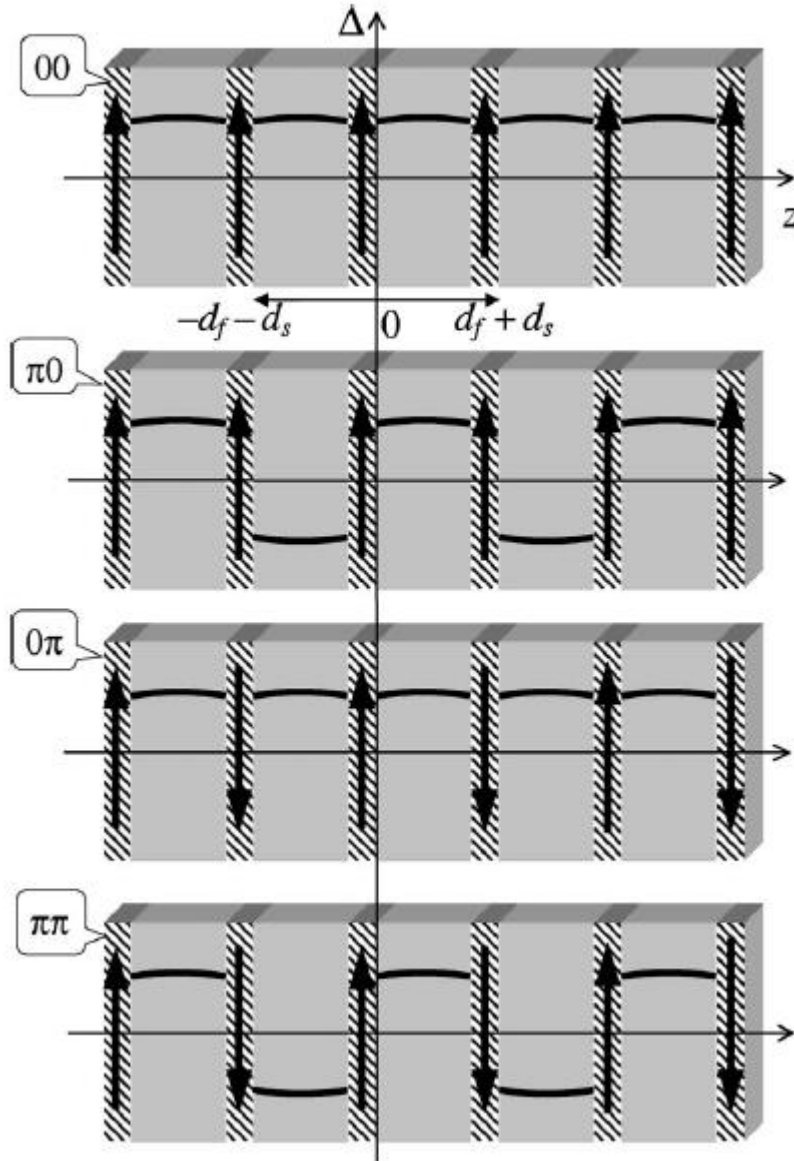
V. I. Zdravkov et al, Phys Rev. Lett. 97, (2006),
Phys. Rev. B 82, 054517 (2010)

SF superstructure



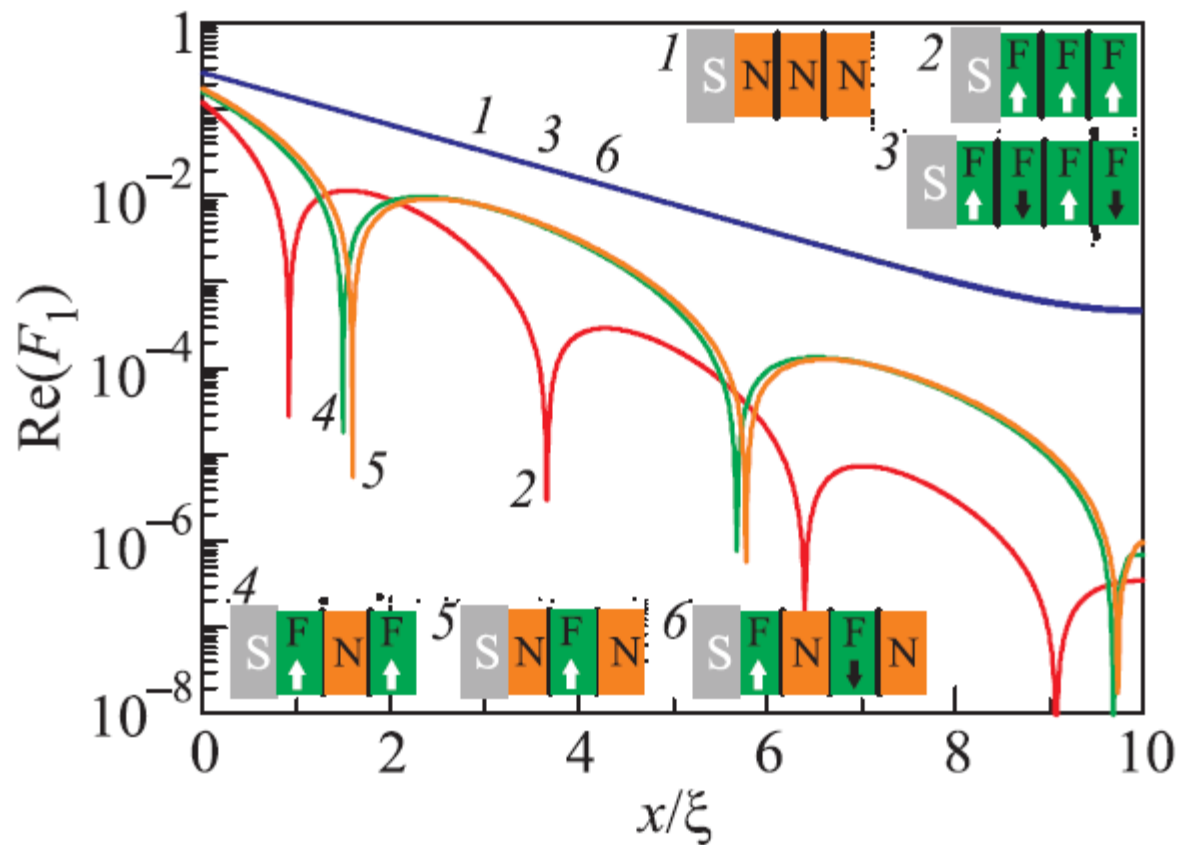
Is the same as set of n independent SF bilayers ?

π magnetic states of ferromagnet-superconductor superlattices



For the ferromagnetic metal/superconductor (FM/S) superlattices, 0π and $\pi\pi$ states with antiferromagnetic ordering of the FM layers magnetizations are predicted. If the S layer thickness d_s is less than the threshold value p , these states have a higher critical temperature T_c than the earlier known ferromagnetic states 00 and $\pi 0$.

Yu. N. Proshin, Yu. A. Izyumov, and M. G. Khusainov
PHYSICAL REVIEW B, VOLUME 64, 064522



S.V. Bakursky et al. JETP lett 102 (2015)

Metamaterial

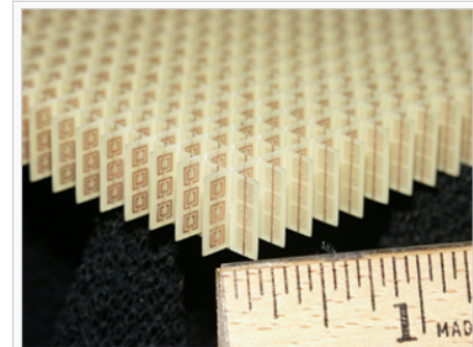
From Wikipedia, the free encyclopedia

Metamaterials (from the Greek word "meta-", *μετά*- meaning "beyond") are materials engineered to have properties that have not yet been found in nature.^[3] They are made from assemblies of multiple elements fashioned from composite materials such as metals or plastics. **The materials are usually arranged in repeating patterns, at scales that are smaller than the wavelengths of the phenomena they influence.**

Metamaterials derive their properties not from the properties of the base materials, but from their newly designed structures. Their precise [shape](#), [geometry](#), [size](#), [orientation](#) and arrangement gives them their smart properties capable of manipulating [electromagnetic waves](#): by blocking, absorbing, enhancing, bending waves, to achieve benefits that go beyond what is possible with conventional materials.

Appropriately designed metamaterials can affect waves of [electromagnetic radiation](#) or [sound](#) in a manner not observed in bulk materials.^{[4][5][6]} Those that exhibit a negative [index of refraction](#) for particular wavelengths have attracted significant research.^{[7][8][9]} These materials are known as [negative-index metamaterials](#).

Potential applications of metamaterials are diverse and include [optical filters](#), [medical devices](#), remote [aerospace](#) applications, [sensor](#) detection and [infrastructure monitoring](#), smart [solar power](#) management, [crowd](#)



[Negative-index metamaterial array](#) ↗
configuration, which was constructed of copper [split-ring resonators](#) and wires mounted on interlocking sheets of fiberglass circuit board. The total array consists of 3 by 20×20 unit cells with overall dimensions of 10 mm

